

# I-23 長軸方向に連続支持された閉リフ鋼床版の 折板理論による応力角解析

○ 北見工業大学 正員 三上 修一  
同 同 大島 俊之  
北大工学部 同 能町 純雄

## 1. まえがき

本研究では閉リフ鋼床版を対象として、長軸方向の面外曲げ剛性を無視した折板理論式を用いて、長軸方向に横桁で連続支持された構造について解析した。

解析にあたっては、橋轍直角方向には定和分交換を用い、橋軸方向には有限フーリエ変換と逆変換を用いて、閉じた関数形を数値的に決定する方法を用いた。

数値計算では横析剛性の変化、リフ断面の変化が变形、応力に与える影響などについて、三径間連続鋼床版について検討した。

## 2. 閉リフ鋼床版の基礎微分方程式

図1のようす構造についての基礎式を組み立てたため、図2のような節点でのつりあいを考え、節点の断面力には、前述の折板要素の関係式を代入する。

また、変形に対する仮定として、折板の深さ方向、厚さ方向の変位分布は一定とし、リフ下側の変位成分をデッキフレート上の変位であらわし、整理すると、8元の連立微分差分方程式が得られ、これを基礎式と呼ぶ。これは、文献<sup>1)</sup>の式(38)である。くわしくは文献を参照されたい。

基礎式をさらに変形して、 $\nabla \theta_r, \Delta \theta_r, \nabla u_r, \Delta u_r$ を消去し、Xに着目して整理すると、次のようす4元連立微分差分方程式となる。

$$\begin{bmatrix} b_{11} D_x^4 + b_{12} D_x^2 + b_{13} & b_{14} D_x^4 + b_{15} D_x^2 + b_{16} & b_{17} D_x^4 + b_{18} D_x^2 + b_{19} & b_{1,10} D_x^4 + b_{1,11} D_x^2 + b_{1,12} \\ b_{21} D_x^4 + b_{22} D_x^2 + b_{23} & b_{24} D_x^4 + b_{25} D_x^2 + b_{26} & b_{27} D_x^4 + b_{28} D_x^2 + b_{29} & b_{2,10} D_x^4 + b_{2,11} D_x^2 + b_{2,12} \\ b_{31} D_x^4 + b_{32} D_x^2 + b_{33} & b_{34} D_x^4 + b_{35} D_x^2 + b_{36} & b_{37} D_x^4 + b_{38} D_x^2 + b_{39} & b_{3,10} D_x^4 + b_{3,11} D_x^2 + b_{3,12} \\ b_{41} D_x^4 + b_{42} D_x^2 + b_{43} & b_{44} D_x^4 + b_{45} D_x^2 + b_{46} & b_{47} D_x^4 + b_{48} D_x^2 + b_{49} & b_{4,10} D_x^4 + b_{4,11} D_x^2 + b_{4,12} \end{bmatrix} \begin{bmatrix} \nabla V_r \\ \nabla W_r \\ \Delta W_r \\ R_r \end{bmatrix} = \begin{bmatrix} P_1 \\ P_2 \\ P_3 \\ P_4 \end{bmatrix} \quad (1)$$

以下、

$$\begin{aligned} b_{11} &= a_{11}^* \bar{a}_{11} + a_{13}^* \bar{a}_{21}, \quad b_{12} = a_{15}^* + a_{11}^* \bar{a}_{12} + a_{12}^* \bar{a}_{11} + a_{14}^* \bar{a}_{21}, \quad b_{13} = a_{12}^* \bar{a}_{12}, \quad b_{14} = a_{16}^*, \quad b_{15} = a_{11}^* \bar{a}_{14} + a_{12}^* \bar{a}_{14} \\ b_{16} &= a_{17}^* + a_{12}^* \bar{a}_{14} + a_{14}^* \bar{a}_{24}, \quad b_{17} = a_{11}^* \bar{a}_{15} + a_{13}^* \bar{a}_{25}, \quad b_{18} = a_{11}^* \bar{a}_{16} + a_{13}^* \bar{a}_{26} + a_{12}^* \bar{a}_{15} + a_{14}^* \bar{a}_{25}, \\ b_{19} &= a_{18}^* + a_{12}^* \bar{a}_{16} + a_{24}^* \bar{a}_{26}, \quad b_{1,10} = a_{11}^* \bar{a}_{17} + a_{13}^* \bar{a}_{27}, \quad b_{1,11} = a_{11}^* \bar{a}_{18} + a_{12}^* \bar{a}_{17} + a_{13}^* \bar{a}_{28} + a_{14}^* \bar{a}_{27}, \\ b_{1,12} &= a_{19}^* + a_{12}^* \bar{a}_{18} + a_{14}^* \bar{a}_{28}, \quad P_1 = P_1^* - a_{12}^* \bar{P}_1 - a_{14}^* \bar{P}_2 - a_{11}^* \bar{P}_1 - a_{13}^* \bar{P}_2 \\ b_{21} &= a_{25}^* + a_{21}^* \bar{a}_{11} + a_{23}^* \bar{a}_{21}, \quad b_{22} = a_{26}^* + a_{21}^* \bar{a}_{12} + a_{22}^* \bar{a}_{11} + a_{24}^* \bar{a}_{21}, \quad b_{23} = a_{22}^* \bar{a}_{12}, \quad b_{25} = a_{21}^* \bar{a}_{14} + a_{23}^* \bar{a}_{24}, \\ b_{26} &= a_{27}^* + a_{22}^* \bar{a}_{14} + a_{24}^* \bar{a}_{24}, \quad b_{27} = a_{28}^* + a_{21}^* \bar{a}_{15} + a_{23}^* \bar{a}_{25}, \quad b_{28} = a_{21}^* \bar{a}_{16} + a_{23}^* \bar{a}_{26} + a_{22}^* \bar{a}_{15} + a_{24}^* \bar{a}_{25}, \\ b_{29} &= a_{29}^* + a_{22}^* \bar{a}_{16} + a_{24}^* \bar{a}_{26}, \quad b_{2,10} = a_{21}^* \bar{a}_{17} + a_{23}^* \bar{a}_{27}, \quad b_{2,11} = a_{21}^* \bar{a}_{18} + a_{23}^* \bar{a}_{28} + a_{22}^* \bar{a}_{17} + a_{24}^* \bar{a}_{27}, \\ b_{2,12} &= a_{2,10}^* + a_{22}^* \bar{a}_{18} + a_{24}^* \bar{a}_{28}, \quad P_2 = P_2^* - a_{22}^* \bar{P}_1 - a_{24}^* \bar{P}_2 - a_{21}^* \bar{P}_1 - a_{23}^* \bar{P}_2 \\ b_{31} &= a_{31}^* \bar{a}_{11} + a_{33}^* \bar{a}_{21}, \quad b_{32} = a_{35}^* + a_{31}^* \bar{a}_{12} + a_{32}^* \bar{a}_{11} + a_{34}^* \bar{a}_{21}, \quad b_{33} = a_{32}^* \bar{a}_{12}, \quad b_{34} = a_{36}^*, \\ b_{35} &= a_{31}^* \bar{a}_{14} + a_{33}^* \bar{a}_{24}, \quad b_{36} = a_{32}^* \bar{a}_{14} + a_{34}^* \bar{a}_{24}, \quad b_{37} = a_{31}^* \bar{a}_{15} + a_{33}^* \bar{a}_{25}, \quad b_{38} = a_{31}^* \bar{a}_{16} + a_{33}^* \bar{a}_{26} + a_{32}^* \bar{a}_{15} \end{aligned}$$

$$\begin{aligned}
& + A_{34}^* \bar{A}_{25}, b_{39} = A_{32}^* \bar{A}_{16} + A_{34}^* \bar{A}_{26}, b_{3,10} = A_{31}^* \bar{A}_{17} + A_{33}^* \bar{A}_{27}, b_{3,11} = A_{31}^* \bar{A}_{18} + A_{33}^* \bar{A}_{28} + A_{32}^* \bar{A}_{19} + A_{34}^* \bar{A}_{27}, \\
& b_{3,12} = A_{32}^* \bar{A}_{18} + A_{34}^* \bar{A}_{28}, P_3 = -A_{32}^* \bar{P}_1 - A_{34}^* \bar{P}_2 - A_{31}^* \bar{P}_1 - A_{33}^* \bar{P}_2 \\
& b_{41} = A_{45}^* + A_{41}^* \bar{A}_{11} + A_{43}^* \bar{A}_{21}, b_{43} = A_{42}^* \bar{A}_{12}, b_{42} = A_{46}^* + A_{41}^* \bar{A}_{12} + A_{42}^* \bar{A}_{11} + A_{44}^* \bar{A}_{12}, b_{45} = A_{41}^* \bar{A}_{14} + A_{43}^* \bar{A}_{24} \\
& b_{46} = A_{47}^* + A_{42}^* \bar{A}_{14} + A_{44}^* \bar{A}_{24}, b_{47} = A_{48}^* + A_{41}^* \bar{A}_{15} + A_{43}^* \bar{A}_{25}, b_{48} = A_{41}^* \bar{A}_{16} + A_{43}^* \bar{A}_{26} + A_{42}^* \bar{A}_{15} + A_{44}^* \bar{A}_{25}, \\
& b_{49} = A_{45}^* + A_{42}^* \bar{A}_{16} + A_{44}^* \bar{A}_{26}, b_{4,10} = A_{41}^* \bar{A}_{17} + A_{43}^* \bar{A}_{27}, b_{4,11} = A_{41}^* \bar{A}_{18} + A_{43}^* \bar{A}_{28} + A_{42}^* \bar{A}_{17} + A_{44}^* \bar{A}_{27}, \\
& b_{4,12} = A_{4,10}^* + A_{42}^* \bar{A}_{18} + A_{44}^* \bar{A}_{28}, P_4^* = P_4^* - A_{42}^* \bar{P}_1 - A_{44}^* \bar{P}_2 - A_{41}^* \bar{P}_1 - A_{43}^* \bar{P}_2 \\
& A_{11}^* = \frac{h_2}{12} (N + N_2) + \frac{\bar{N} h_2}{12} (\Delta_r^2 + 6), A_{12}^* = \frac{Gt h_2}{2h} \Delta_r^2, A_{13}^* = -\frac{\bar{N} h_2}{12} \Delta_r, A_{14}^* = -\frac{Gt h_2}{2h} \Delta_r, \\
& A_{15}^* = \frac{Gt h_2}{4} \Delta_r, A_{16}^* = -\frac{N_2 h_2}{6} \cos \alpha, A_{17}^* = -\frac{6K}{h^2 \cos \alpha} \Delta_r^2 + A_{16} B_{11} + A_{17} B_{21}, \\
& A_{18}^* = \frac{6K}{h^2 \cos \alpha} \Delta_r + A_{16} B_{12} + A_{17} B_{22}, A_{19}^* = A_{16} B_{13} + A_{17} B_{23}, P_1^* = P_1 - (A_{16} C_{11} + A_{17} C_{12}) \nabla C_r - (A_{16} C_{12} \\
& + A_{17} C_{22}) \Delta C_r, \\
& A_{21}^* = \frac{\bar{N} h_2}{12} \Delta_r, A_{22}^* = \frac{Gt h_2}{2h} \Delta_r, A_{23}^* = \frac{\bar{N} h_2}{12} (2 - \Delta_r^2) + \left(\frac{N}{6} + \frac{N_2}{2}\right) h_2, A_{24}^* = -2 \frac{Gt h_2}{h} - \frac{Gt h_2}{2h} (4 + \Delta_r^2), \\
& A_{25}^* = \frac{N_2 h_2}{6} \sin \alpha, A_{26}^* = \frac{Gt h_2}{4} \Delta_r^2, A_{27}^* = -\frac{6K}{h^2 \cos \alpha} \Delta_r + A_{26} B_{11} + A_{27} B_{21}, A_{28}^* = -\frac{N_2 h_2}{6} \cos \alpha, \\
& A_{29}^* = \frac{6K}{h^2 \cos \alpha} (4 + \Delta_r^2) + \frac{24K_1}{h^2 \cos \alpha} - \frac{12K_1}{h_1 \cos \alpha} (g_1 - 2e_1) + A_{26} B_{12} + A_{27} B_{22}, A_{2,10}^* = -\frac{12K_1}{h_1 \cos \alpha} (g_3 - 2e_2) + A_{26} B_{13} + A_{27} B_{23}, \\
& P_2^* = P_2 - (A_{26} C_{11} + A_{27} C_{21}) \nabla C_r - (A_{26} C_{12} + A_{27} C_{22}) \Delta C_r, \\
& A_{31}^* = \frac{\bar{N}}{12} (6 + \Delta_r^2) + \frac{1}{2} (N + N_1 + 2N_2), A_{32}^* = \frac{Gt}{2h} \Delta_r^2, A_{33}^* = -\frac{\bar{N}}{12} \Delta_r, A_{34}^* = -\frac{Gt}{2h} \Delta_r, A_{35}^* = \frac{Gt}{4} \Delta_r, \\
& A_{36}^* = -\frac{h_2}{2} (N_1 + N_2) \cos \alpha, \\
& A_{41}^* = \frac{\bar{N}}{12} \Delta_r, A_{42}^* = \frac{Gt}{2h} \Delta_r, A_{43}^* = \frac{\bar{N}}{12} (2 - \Delta_r^2) + \frac{1}{6} (N + N_1 + 6N_2), A_{44}^* = -2 \frac{Gt}{h} - \frac{Gt}{2h} (4 + \Delta_r^2), \\
& A_{45}^* = h_2 \sin \alpha \left(\frac{N_2}{2} + \frac{N_1}{6}\right), A_{46}^* = \frac{Gt}{4} \Delta_r^2, A_{47}^* = A_{56} B_{11}, A_{48}^* = -h_2 \left(\frac{N_2}{2} + \frac{N_1}{6}\right) \cos \alpha, \\
& A_{49}^* = \frac{24K_1}{h_1 h_2} \tan \alpha (g_1 - 2e_1) - \frac{12K_2}{h_1 h_2} \sec \alpha \cdot g_1 + A_{56} B_{12}, \\
& A_{4,10}^* = \frac{24K_1}{h_1} \tan \alpha (g_3 - 2e_2) - \frac{12K_2}{h_1 h_2} \sec \alpha (g_3 - 4) + A_{56} B_{13}, P_4^* = -A_{56} C_{11} \nabla C_r - A_{56} C_{12} \Delta C_r, \\
& \bar{P}_1 = (\bar{P}_3^* - \bar{A}_{32}^* / \bar{A}_{31}^* \cdot \bar{P}_8^*) / \bar{A}_{31}^*, \bar{P}_2 = \bar{P}_8^* / \bar{A}_{31}^*, \\
& \bar{A}_{11} = (\bar{A}_{32}^* \bar{A}_{32}^* / \bar{A}_{31}^* - \bar{A}_{33}^*) / \bar{A}_{31}^*, \bar{A}_{12} = -\bar{A}_{34}^* / \bar{A}_{31}^*, \bar{A}_{14} = (\bar{A}_{32}^* \bar{A}_{33}^* / \bar{A}_{31}^* - \bar{A}_{35}^*) / \bar{A}_{31}^*, \bar{A}_{15} = \bar{A}_{32}^* \bar{A}_{34}^* / (\bar{A}_{31}^* \bar{A}_{31}^*), \\
& \bar{A}_{16} = (\bar{A}_{32}^* \bar{A}_{35}^* / \bar{A}_{31}^* - \bar{A}_{36}^*) / \bar{A}_{31}^*, \bar{A}_{17} = \bar{A}_{32}^* \bar{A}_{36}^* / (\bar{A}_{31}^* \bar{A}_{31}^*), \bar{A}_{18} = (\bar{A}_{32}^* \bar{A}_{37}^* / \bar{A}_{31}^* - \bar{A}_{37}^*) / \bar{A}_{31}^*, \\
& B_{11} = (C_{12}^* C_{13}^* - C_{15}^* C_{22}^*) / \Delta, B_{12} = (C_{12}^* C_{24}^* - C_{22}^* C_{13}^*) / \Delta, B_{13} = -C_{22}^* C_{14}^* / \Delta, B_{21} = (C_{15}^* C_{21}^* - C_{15}^* C_{33}^*) / \Delta, \\
& B_{22} = (C_{21}^* C_{13}^* - C_{24}^* C_{11}^*) / \Delta, B_{23} = C_{21}^* C_{14}^* / \Delta, \Delta = C_{11}^* C_{22}^* - C_{21}^* C_{12}^*, C_{11} = C_{22}^* / \Delta, \\
& C_{12} = -C_{12}^* / \Delta, C_{21} = -C_{21}^* / \Delta, C_{22} = -C_{22}^* / \Delta \\
& \bar{A}_{31}^* = \frac{1}{4} (Gt + \frac{V\bar{N}}{h}) \Delta_r, \bar{A}_{32}^* = -\frac{1}{4} (Gt + \frac{V\bar{N}}{h}) \Delta_r^2, \bar{A}_{33}^* = \frac{Gt \bar{h}}{12} (6 + \Delta_r^2) + \frac{Gt h}{2} \Delta_r^2, \bar{A}_{34}^* = \frac{\bar{N}}{2h^2} \Delta_r^2, \\
& \bar{A}_{35}^* = A_{34}^* + A_{36} B_{11} + A_{37} B_{21}, \bar{A}_{36}^* = A_{35} + A_{36} B_{12} + A_{37} B_{22}, \bar{A}_{37}^* = A_{38} + A_{36} B_{13} + A_{37} B_{23}, \\
& \bar{P}_3^* = P_3 - (A_{36} C_{11} + A_{37} C_{21}) \nabla C_r - (A_{36} C_{12} + A_{37} C_{22}) \Delta C_r, \\
& \bar{A}_{31}^* = A_{82}, \bar{A}_{32}^* = Gt_1 (h_2 \sin \alpha + \frac{h_1}{2}), \bar{A}_{33}^* = A_{84} + A_{86} B_{11} + A_{87} B_{21}, \bar{A}_{34}^* = -Gt_1 h_2 \cos \alpha, \\
& \bar{A}_{35}^* = \frac{12K_1}{h_1} (\tan \alpha - \sec \alpha) (g_1 - 2e_1) - \frac{6K_2}{h_2} \sec \alpha g_1 + \frac{6K}{h} \sec \alpha (4 + \Delta_r^2) + \frac{24K}{h^2} \sec \alpha + A_{86} B_{12} + A_{87} B_{22}, \\
& \bar{A}_{36}^* = -Gt_1 h_1 h_2 \sec \alpha, \bar{A}_{37}^* = \frac{12K_1}{h_1} (\tan \alpha - \sec \alpha) (g_3 - 2e_2) - \frac{6K_2}{h_2} \sec \alpha (g_3 - 4) + A_{86} B_{13} + A_{87} B_{23}, \\
& \bar{P}_8^* = P_8 - (A_{86} C_{11} + A_{87} C_{21}) \nabla C_r - (A_{86} C_{12} + A_{87} C_{22}) \Delta C_r, \\
& A_{16} = \frac{3K}{h \cos \alpha} \Delta_r, A_{17} = -\frac{3K}{h \cos \alpha} \Delta_r^2, A_{26} = \frac{3K}{h \cos \alpha} (4 + \Delta_r^2) - \frac{12K}{h \cos \alpha} - \frac{12K_1}{h_1 \cos \alpha} g_2, A_{27} = -\frac{3K}{h \cos \alpha} \Delta_r, \\
& A_{36} = \frac{6K_2}{h_1} (1 + g_2) \sec \alpha - \frac{3K}{h} (4 + \Delta_r^2) \tan \alpha + \frac{12K}{h} \tan \alpha, A_{37} = \frac{3K}{h} \Delta_r \tan \alpha, \\
& A_{86} = \frac{12K_1}{h_1} (\tan \alpha - \sec \alpha) g_2 - \frac{6K_2}{h_2} \sec \alpha (1 + g_2) + \frac{2K}{h} \sec \alpha (4 + \Delta_r^2) - \frac{12K}{h} \sec \alpha, A_{87} = -\frac{3K}{h} \sec \alpha \Delta_r, \\
& P_1 = \sec \alpha (\nabla P_r + \nabla \bar{C}_r), P_2 = \sec \alpha (\Delta P_r + \Delta \bar{C}_r), P_3 = -\tan \alpha (\Delta P_r + \Delta \bar{C}_r), P_8 = \sec \alpha (\Delta P_r + \Delta \bar{C}_r), \\
& g_1 = \frac{6K_1 e_1}{3K_1 + 2K_2}, g_2 = -\frac{K_2}{3K_1 + 2K_2}, g_3 = \frac{6(K_1 e_1 + K_2)}{3K_1 + 2K_2}, e_1 = \frac{1}{h_1}, e_2 = -\frac{2h_2 \sin \alpha}{h_1}, \\
& \nabla \bar{C}_r = -\frac{1}{h} (C_{2r+1,2r+2} - C_{2r+2,2r+1} - C_{2r,2r-1} - C_{2r-1,2r}), \Delta \bar{C}_r = -\frac{1}{h} (C_{2r+1,2r+2} + C_{2r+2,2r+1} + C_{2r,2r-1} + C_{2r-1,2r}) + \frac{2}{h} (C_{2r,2r+1} + C_{2r+1,2r}), \\
& \nabla C_r = -(C_{2r,2r+1} + C_{2r+1,2r} + C_{2r,2r-1} + C_{2r-1,2r+1}), \Delta C_r = -(C_{2r+1,2r} - C_{2r,2r+1} + C_{2r+1,2r-1} - C_{2r,2r-1})
\end{aligned}$$

### 3. 橋軸方向の閉じた関数形表示

式(1)に橋軸直角方向には定和分変換、橋軸方向には有限フーリエ変換を行なう。本論文では橋軸方向連続鋼床版の両端では単純支持を想定して、有限フーリエ変換による境界値は消失するものと考える。故に式(1)は、

$$[\mathbf{ID}] \{ \mathbf{U} \} = \{ \mathbf{P} \} \quad \cdots (2)$$

$[\mathbf{ID}]$  は、4行4列の行列式で、その要素は、 $d_{ij} = (b_{i,3(j-1)+1} M^4 - b_{i,3(j-1)+2} M^2 + b_{i,3(j-1)+3})$   
 $i, j = 1, 4$  となっているので、 $[D_{ij}]$  を  $d_{ij}$  の全因数とすれば、解の一つは、 $M$ について着目すれば、次の形の係数となる。

$$(-1)^{i+j} \frac{|D_{ij}|}{|\mathbf{ID}|} = \frac{s_1 M^{14} + s_2 M^{12} + \dots + s_7 M^2 + s_8}{r_1 M^{16} + r_2 M^{14} + \dots + r_6 M^2 + r_9} \quad \cdots (3)$$

これは、分母 = 0 とする  $M^2$  に関する8次方程式の根を求め、部分分数に展開し、未定係数法により、各係数を決定する。次のように変形できる。

$$(-1)^{i+j} \frac{|D_{ij}|}{|\mathbf{ID}|} = \frac{1}{h} \left\{ \sum_{s=1}^{\alpha^*} \frac{k_{2s-1} M^2 + k_{2s}}{(M^2 + \chi_s)^2 + y_s^2} + \sum_{z=1}^{\beta^*} \frac{k_z^*}{M^2 + \alpha_z} \right\} \quad \cdots (4)$$

ただし  $\alpha^*, \beta^*$  は前述の高次方程式のそれぞれ共役複素数の組数、実根の数を意味する。また、根の一組を複素根について  $\lambda_1 \pm \lambda_2 i^*$ 、実根について入とすると、前式においては、

$$\chi_s = -\lambda_1; y_s = -\lambda_2, \alpha_z = -\lambda \quad (\text{ただし } i^* \text{ は虚数単位とする。})$$

このようにして、数値的に部分分数の各係数が決定できれば、無限級数和の公式を用いて、橋軸方向には閉じた関数形で表示できる。

これらの計算は、計算機の中で自動的に行なわれる。また有限フーリエ変換の境界値が残る問題の場合にも同様の手順で関数形が決定できるが、この中には係数の入れかえをして、影響の大きさ項のみ単純逆変換形にとりだせるものも含まれている。

### 4. 横桁剛性の評価

横桁については、図3のような構造であるが、取扱いを簡単にすろため、図4のようにモデル化して考慮する。この場合、換算板厚  $t^*$  は、 $t^* = k^* t_0 h' / h_0$

$$\cdots (5)$$

となり、 $k^*$  は補正係数であるが、実験等により決定する。本論文では、 $k^* = 1$  としている。

図4の横桁のねじり剛性を無視できるものと仮定し、横桁の上下に節点をもつ、四角形有限要素式によりモデル化する。したがって、横桁剛性は横桁の軸方向および鉛直方向の力により評価し、横桁位置での変形の適合条件により、その大きさを決定する方法により計算する。

### 5. 数値計算

数値計算により、変形、応力に及ぼす、横桁剛性、リブ断面形状、スパン比などの影響について検討したが、図には中央支間を支間長とする単純鋼床版の結果についても一部比較のため示している。

計算に用いた断面等の数値は、

$t = 12 \text{ mm}, t_1 = t_2 = 8 \text{ mm}, b = \bar{h} = 30 \text{ cm}, h_2 = h_1 = 20 \text{ cm},$  側支間  $l_1 = l_2 = 300 \text{ cm}, 150 \text{ cm},$  中央支間  $300 \text{ cm},$  リブ本数 7 本、荷重は中央に、 $50 \times 20 \text{ cm}^2$  の面積で  $8 \text{ kg/cm}^2$  の強度の部分分布

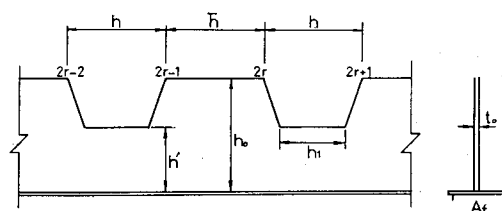


図3 Actual Structure

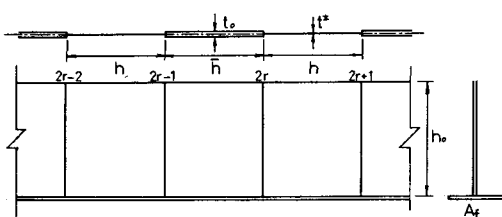


図4 Model

荷重をリフ断面中央 (Case A) に載せている。

図5は、横行剛性(高さ)の変化による垂直変位の橋軸方向変化を示している。これによると、剛性が大きくなるにつれて、横行位置の沈下量が小さくなり、全体の変位が小さくなっている様子がわかる。

図6、図7はリフ上側、およびリフ下側の橋軸方向応力が、リフ形状により、連続支持の場合どのように変化するかを調べたものである。

リフ形状、断面が大きいほど、応力は当然小さくなるが、図6の横行位置で、逆の関係になっている。

図8は、 $l_1 = l_3 = 150\text{ cm}$  と  $l_2$  の  $1/2$  とした場合のたわみの比較を示したもので、横行高さ  $h_0$  は  $60\text{ cm}$  としている。支間を短くすると、この場合、中央点のたわみが3割程度小さくなっている。

## 5.まとめ

閉リフ鋼床版の基礎式を橋軸方向に閉じた関数で表示することにより、横行を考慮した連続支持の鋼床版の解可行を行った。

ここでは橋軸直角方向の分布、断面方向曲げモーメント、橋軸方向変化などについて、触れられなかった。また、等価支間長に対する考察も行なえなかつたので別の機会に発表したい。

## 参考文献

- 1) 大島、能町：折板構造解析による閉リフ鋼床版の弾性挙動の研究、土木学会論文報告集、オ278号、1978.10
- 2) Boukamp, J.G. and G.H. Powell : Structural Behavior of an Orthotropic Steel Deck Bridge, Structural Engineering Laboratory, Univ. of California, Berkeley, Calif., Report No. 67-27, Nov, 1967.
- 3) 井口廣蔵遺稿集、室工大土木工学科、1967.
- 4) 山村、若林：任意の支持条件をもつ閉断面リフ鋼床版の実用計算法、橋梁と基礎、1971、2月号
- 5) 能町、大島：閉リフ鋼床版の弾性挙動について、土木学会年次学術講演会、I-22、1975.
- 6) 能町、大島：閉リフ鋼床版の構造特性、土木学会北海道支部研究発表会論文集、P107、1976.
- 7) 能町、大島：閉リフで補剛された平板の曲げについて、土木学会年次学術講演会、I-107、1976.

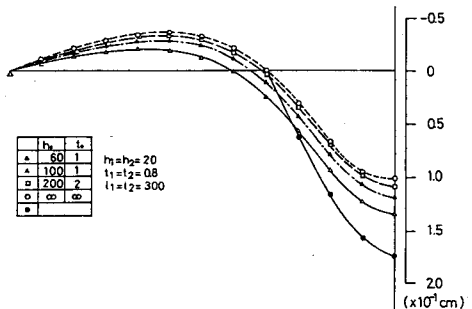


図5 たわみ  $W$

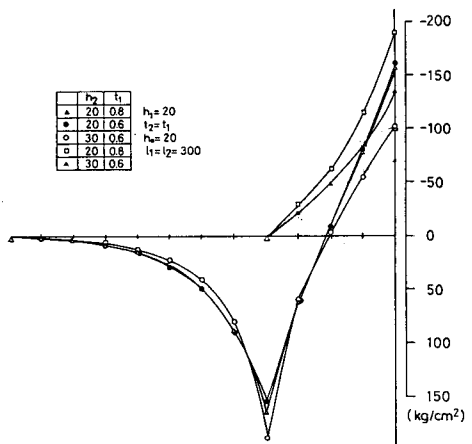


図6 リフ上側応力  $\sigma_x^u$

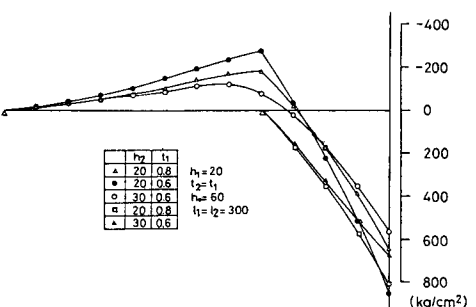


図7 リフ下側応力  $\sigma_x^d$

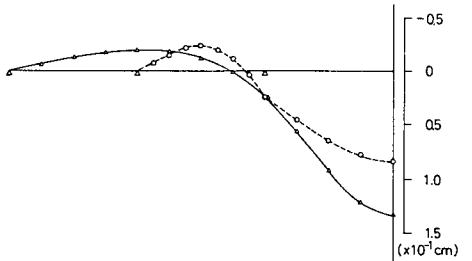


図8 支間長比の変化、たわみ  $W$